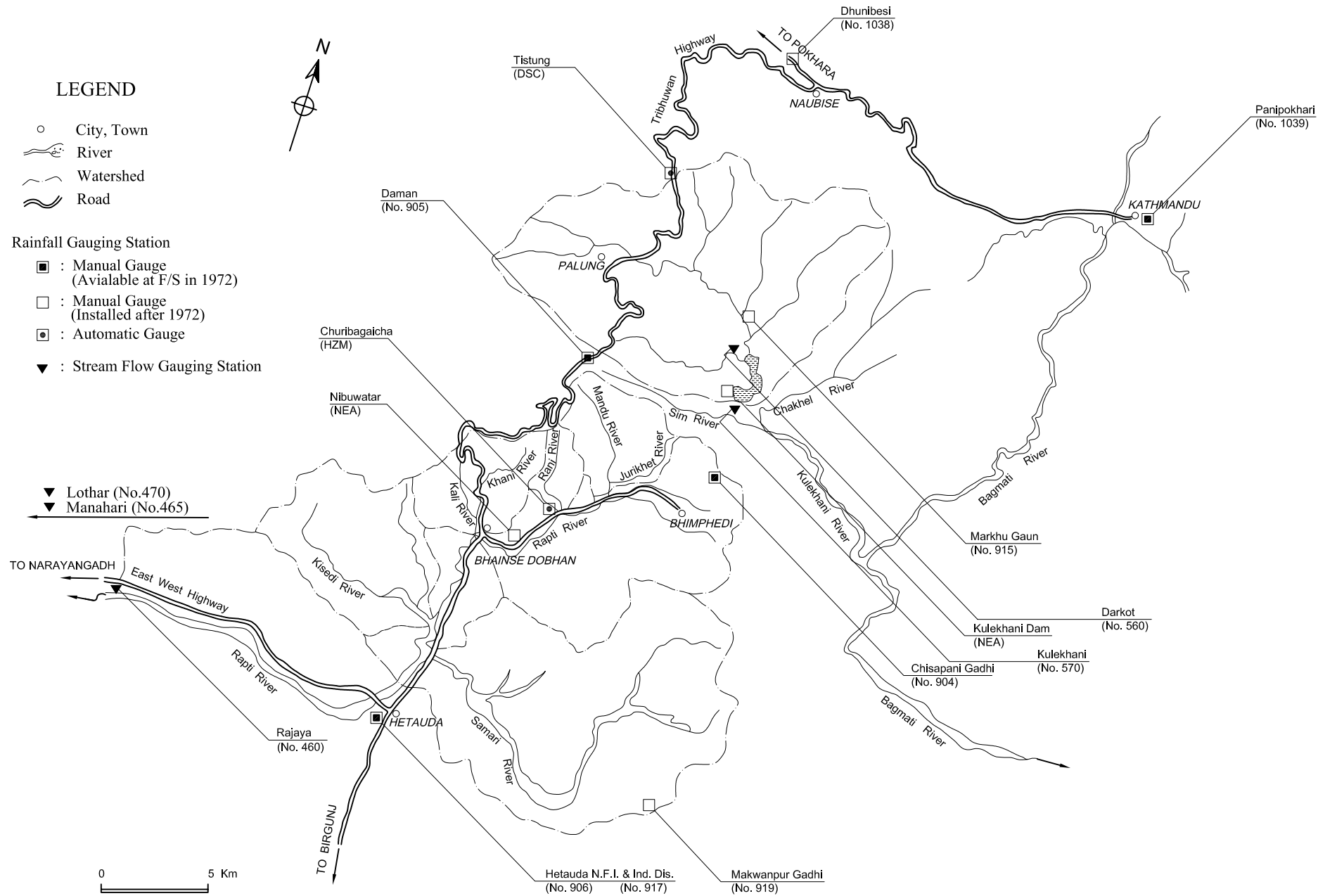


FIGURES

第 3 章

図 3.2.1
近傍観測所(測候所・測水所)の位置



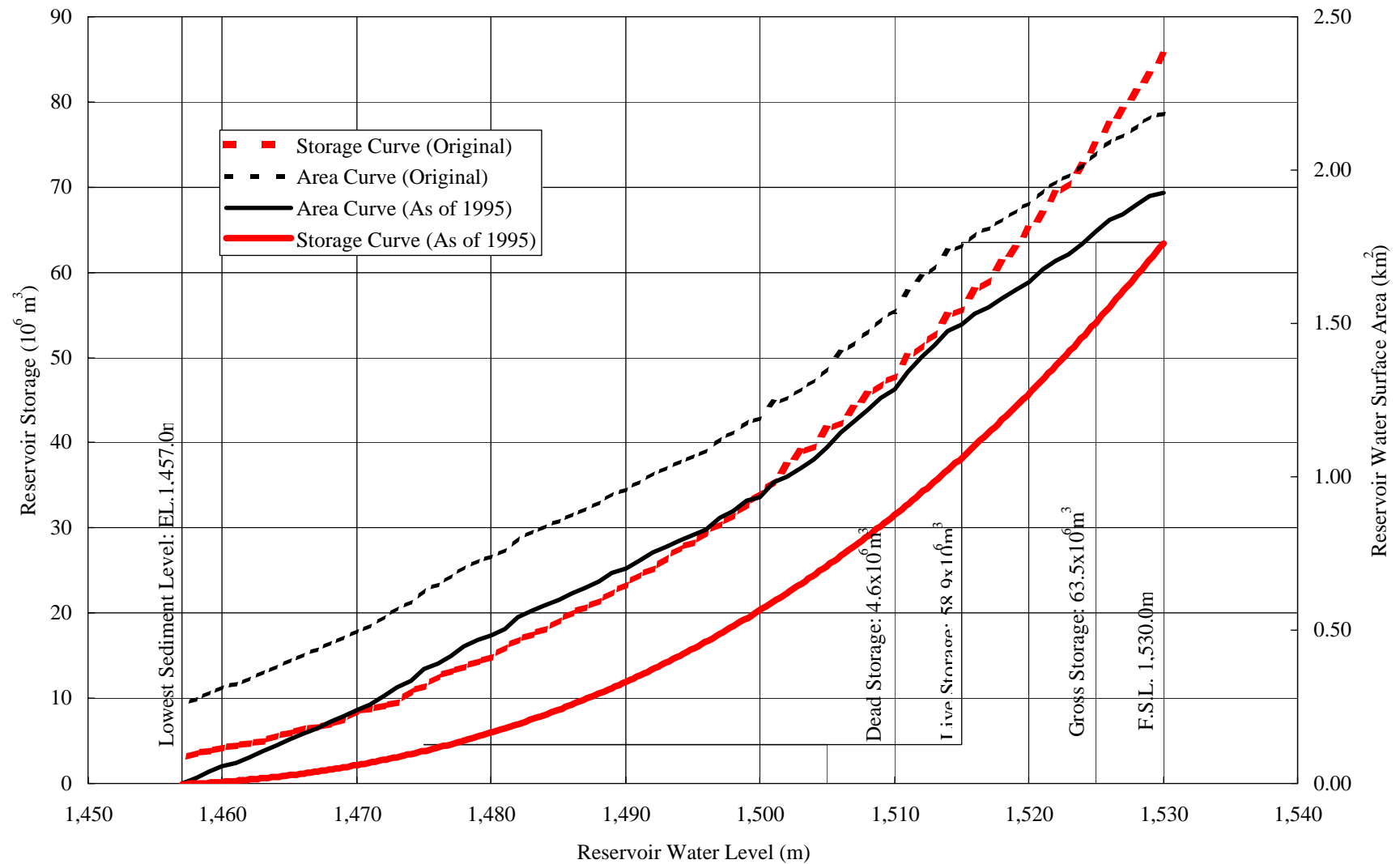


図 3.2.2 原設計時及び1995年時の貯水容量曲線

参照:文献 6)

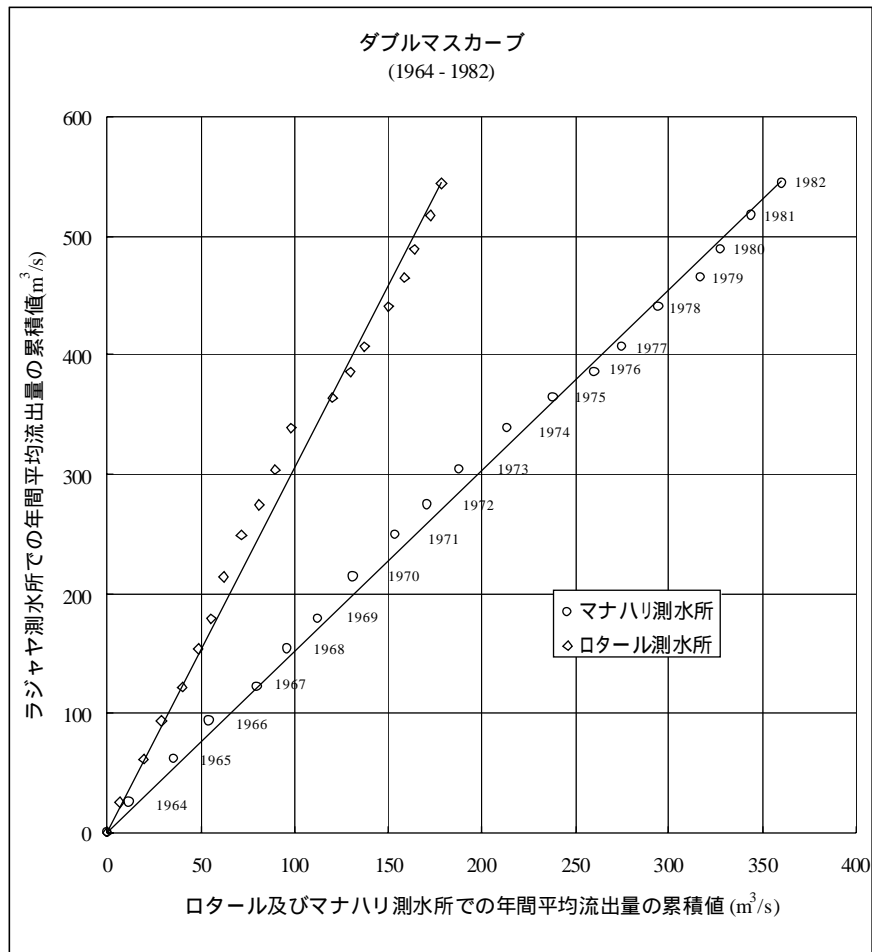


図 3.2.3 ラジャヤ測水所流量記録の継続性(ダブルマスカーブ)

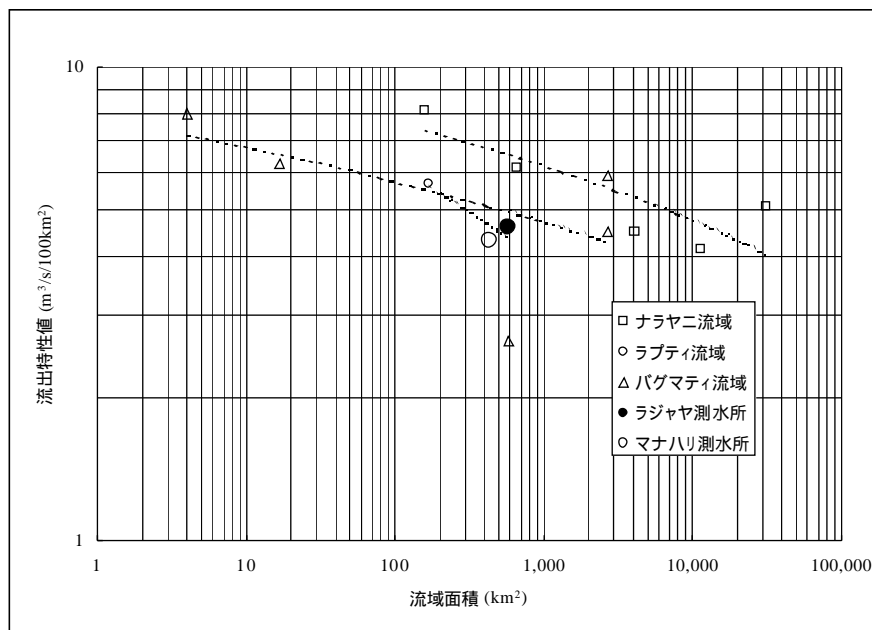


図 3.2.4 ラジャヤ測水所及び近傍測水所地点の流出特性値の比較

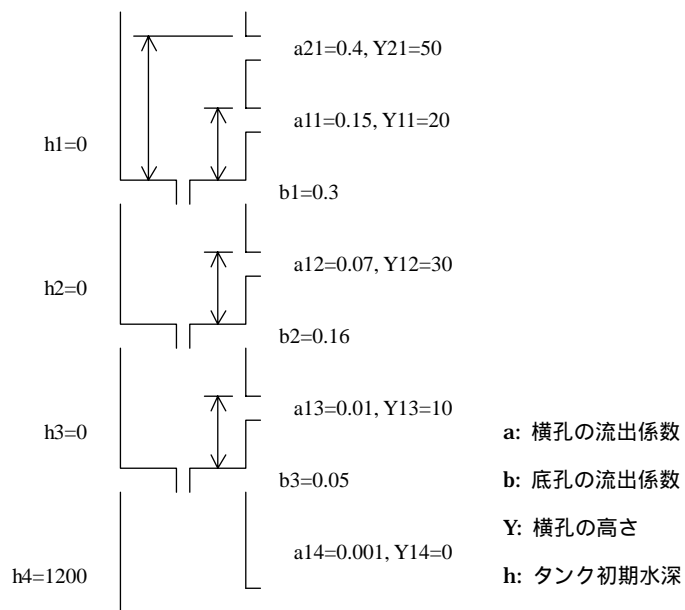


図3.2.5 タンクモデル

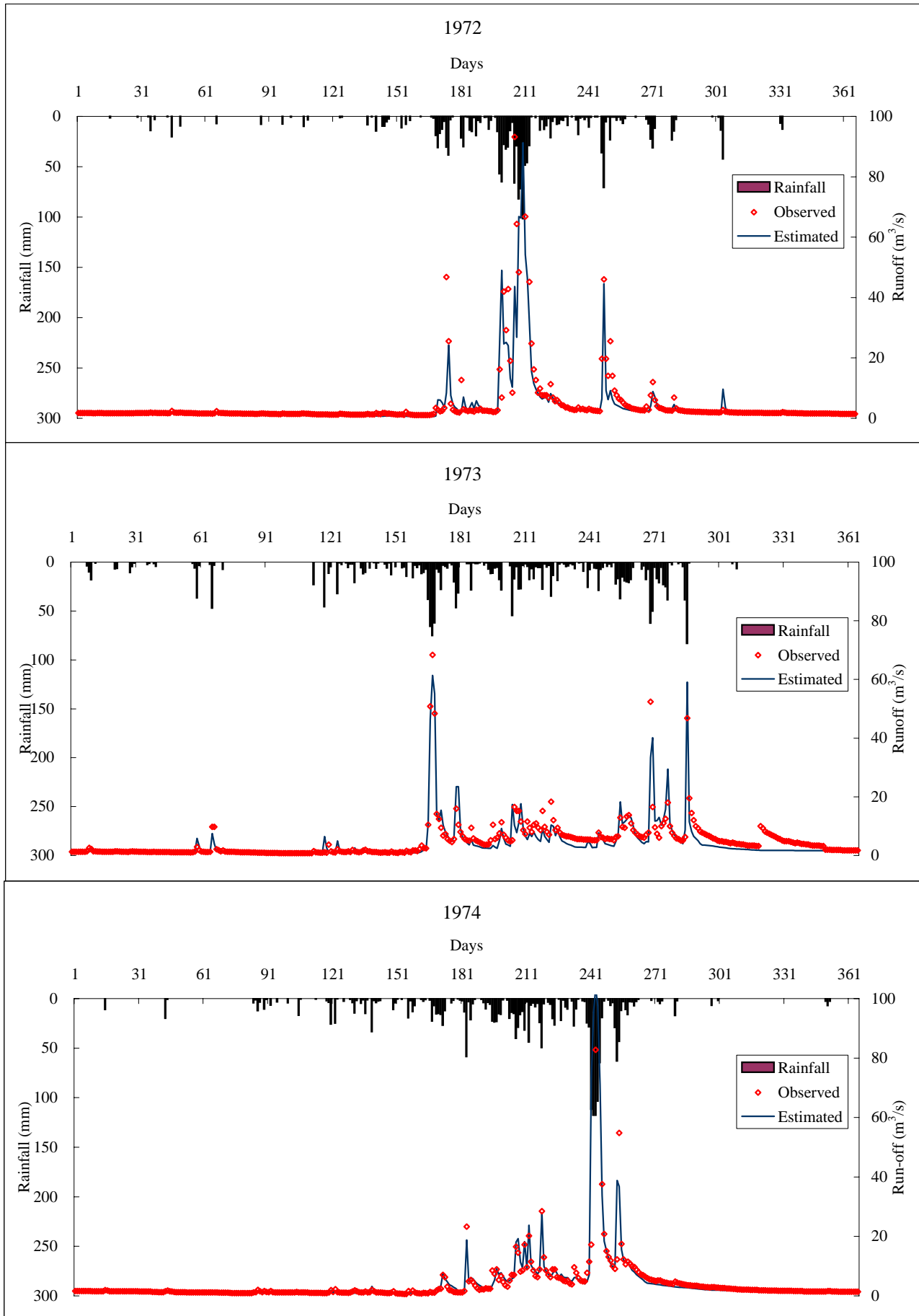


図 3.2.6 タンクモデル同定結果 (1/2)

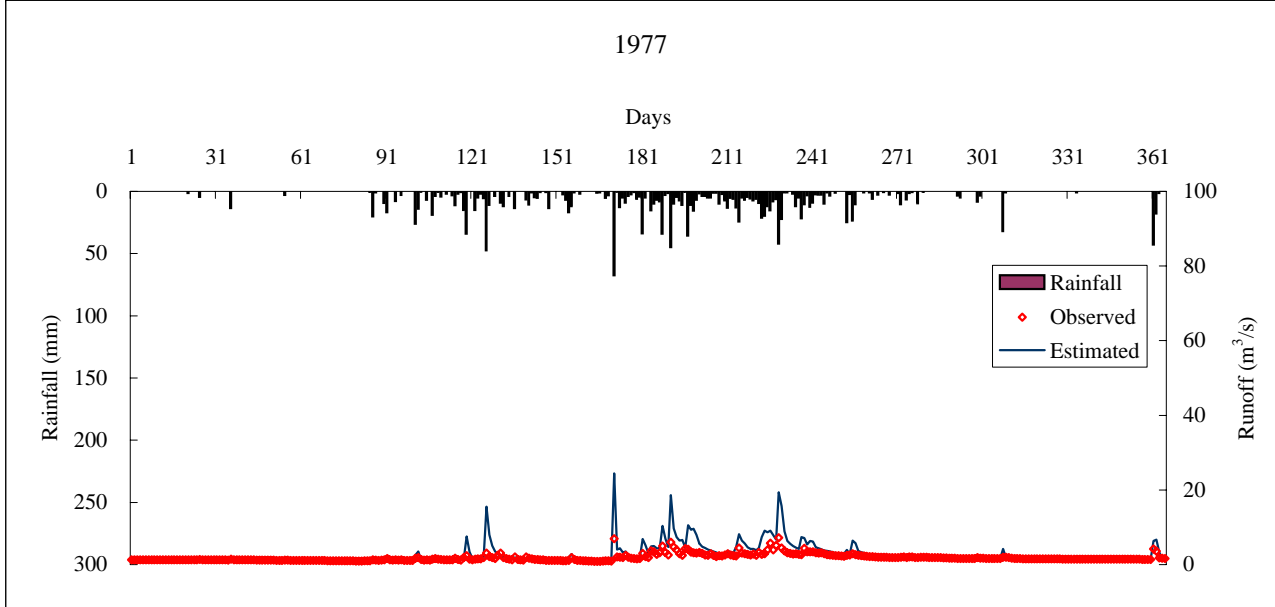
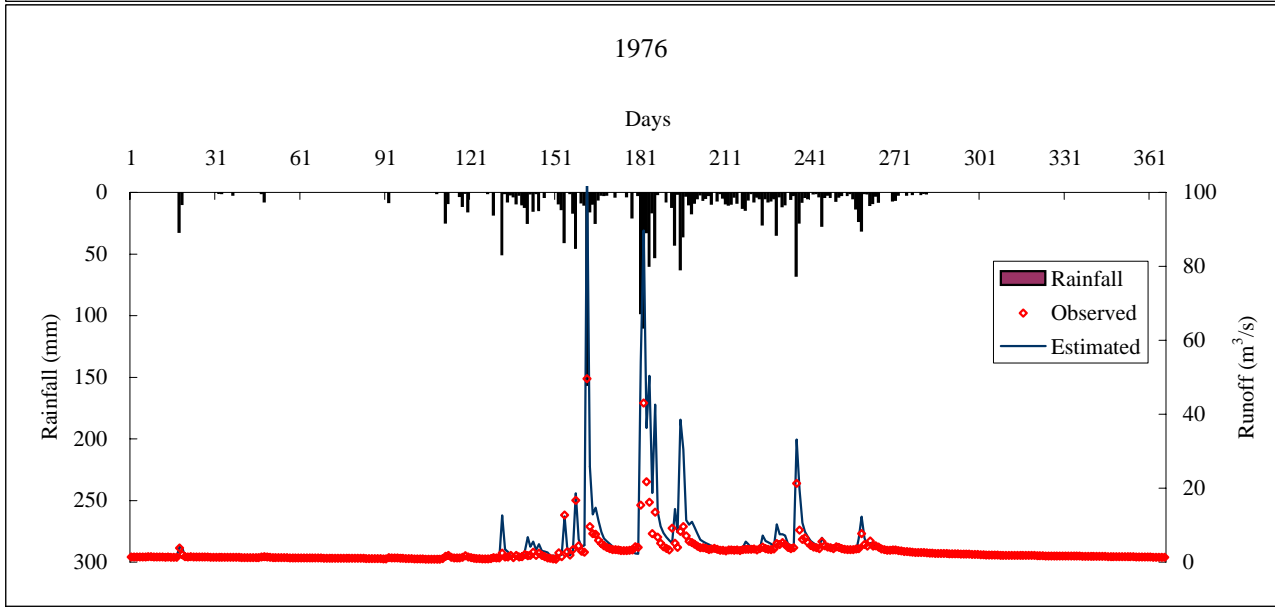
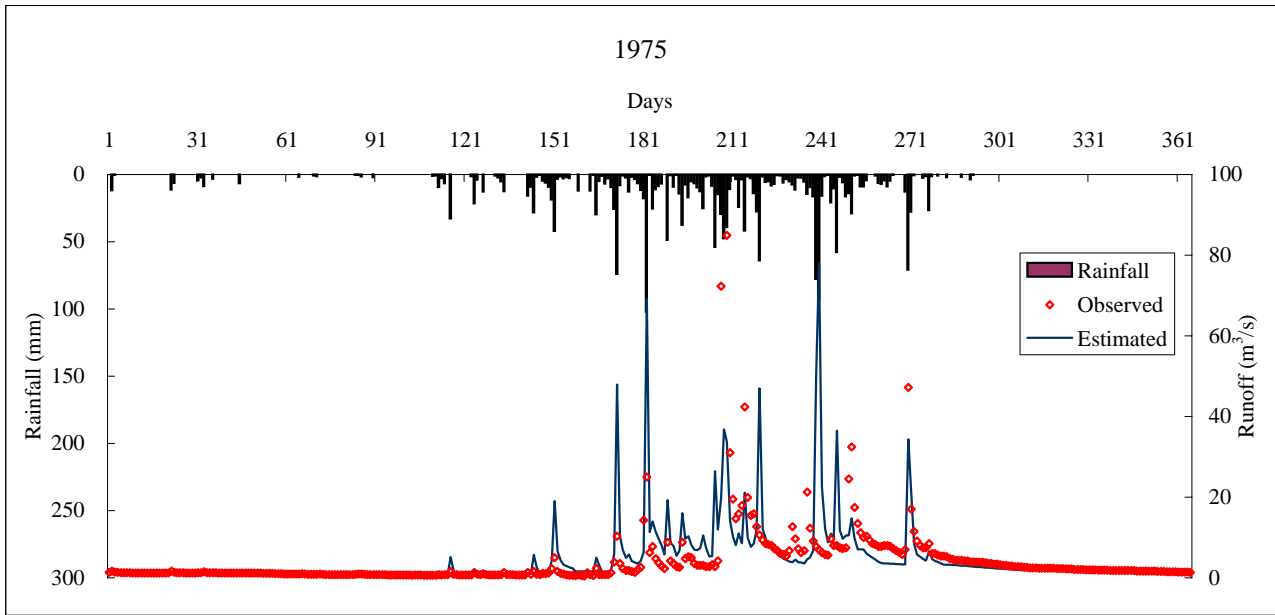


図 3.2.6 タンクモデル同定結果 (2/2)

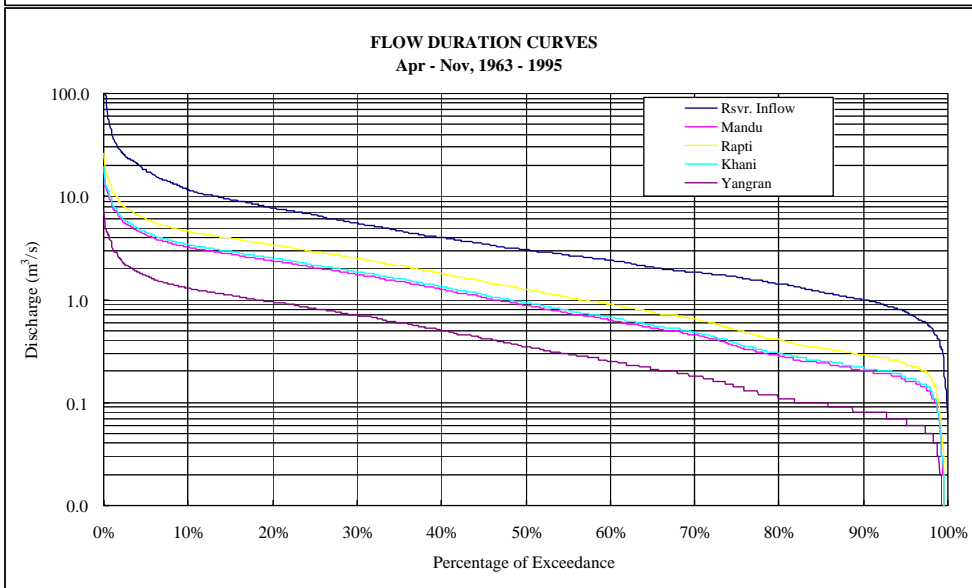
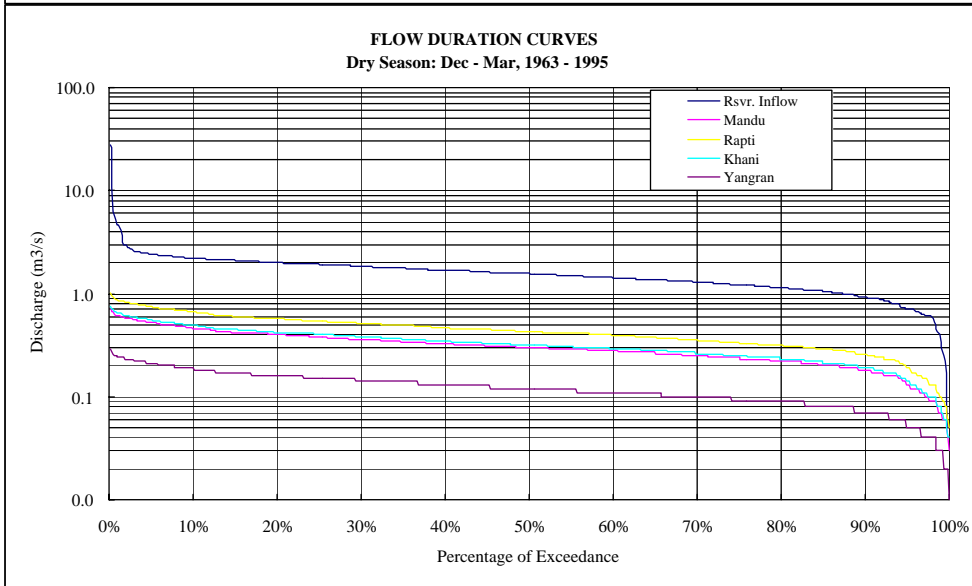
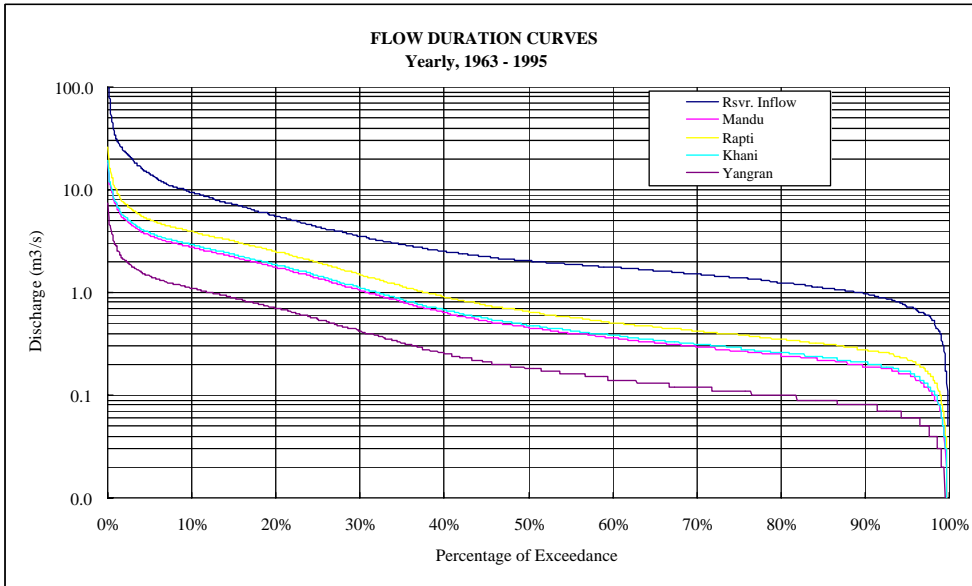
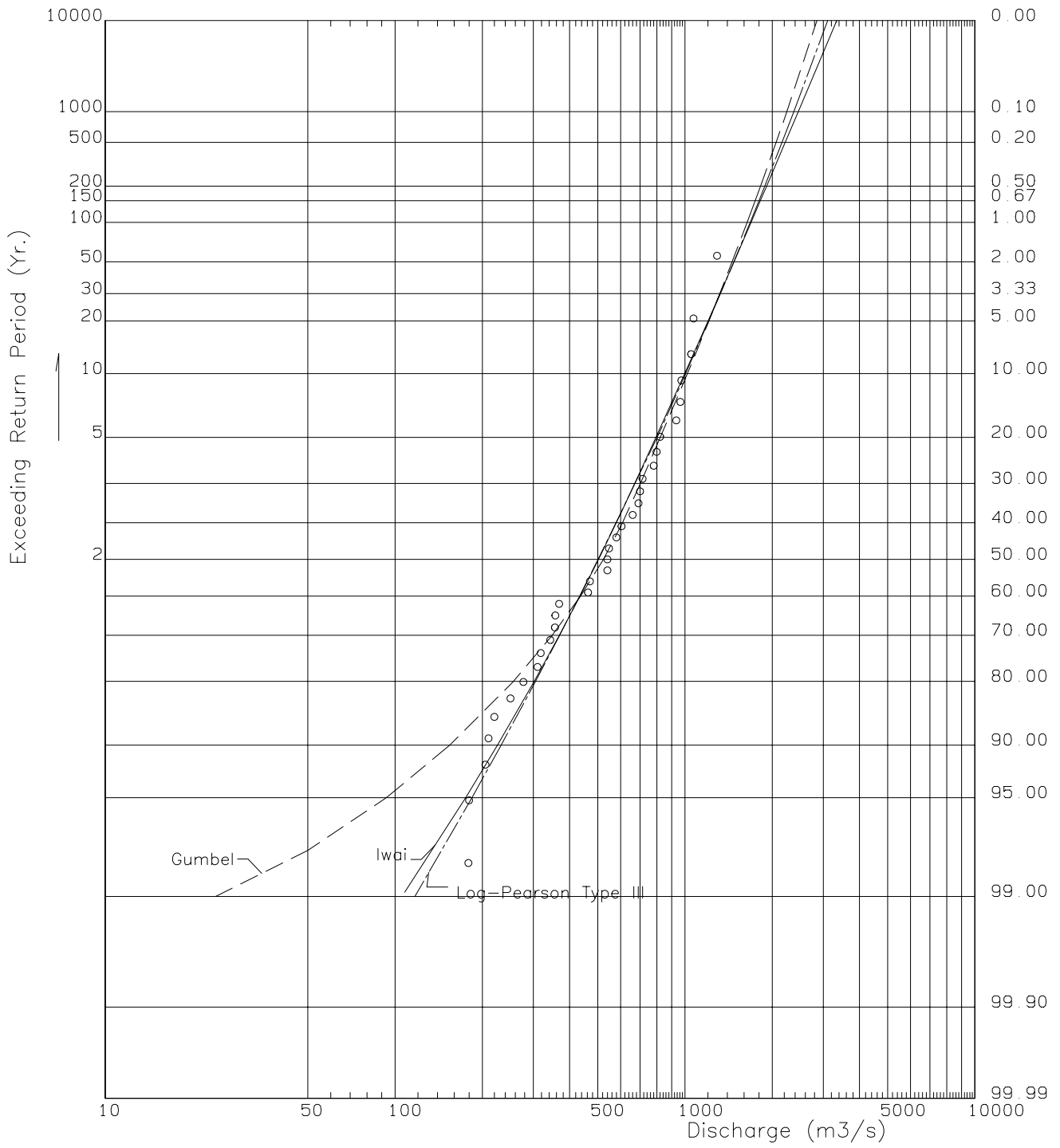


図 3.2.7 貯水池流入量及び溪流取水地点の流況曲線



THE UPGRADING FEASIBILITY STUDY ON THE DEVELOPMENT
OF THE KULEKHANI III HYDROPOWER PROJECT

JAPAN INTERNATIONAL COOPERATION AGENCY

図3. 2. 8

ラジャヤ測水所地点の確率洪水(1963-1995)

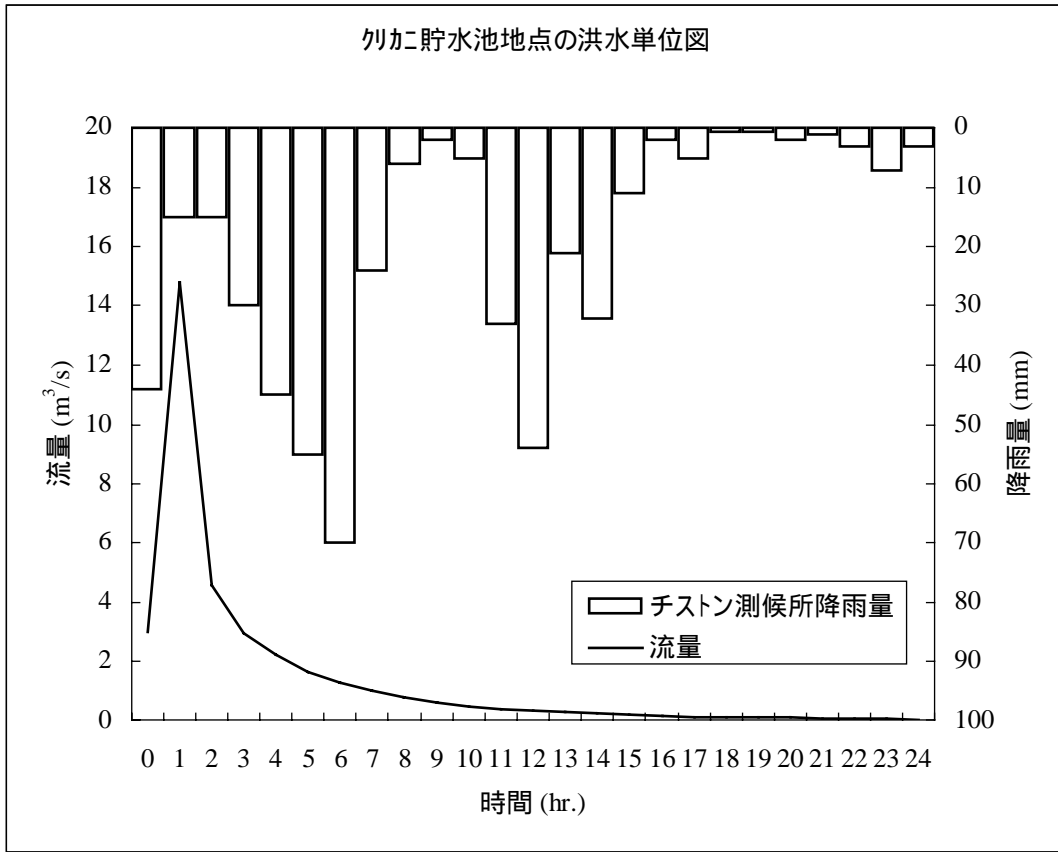
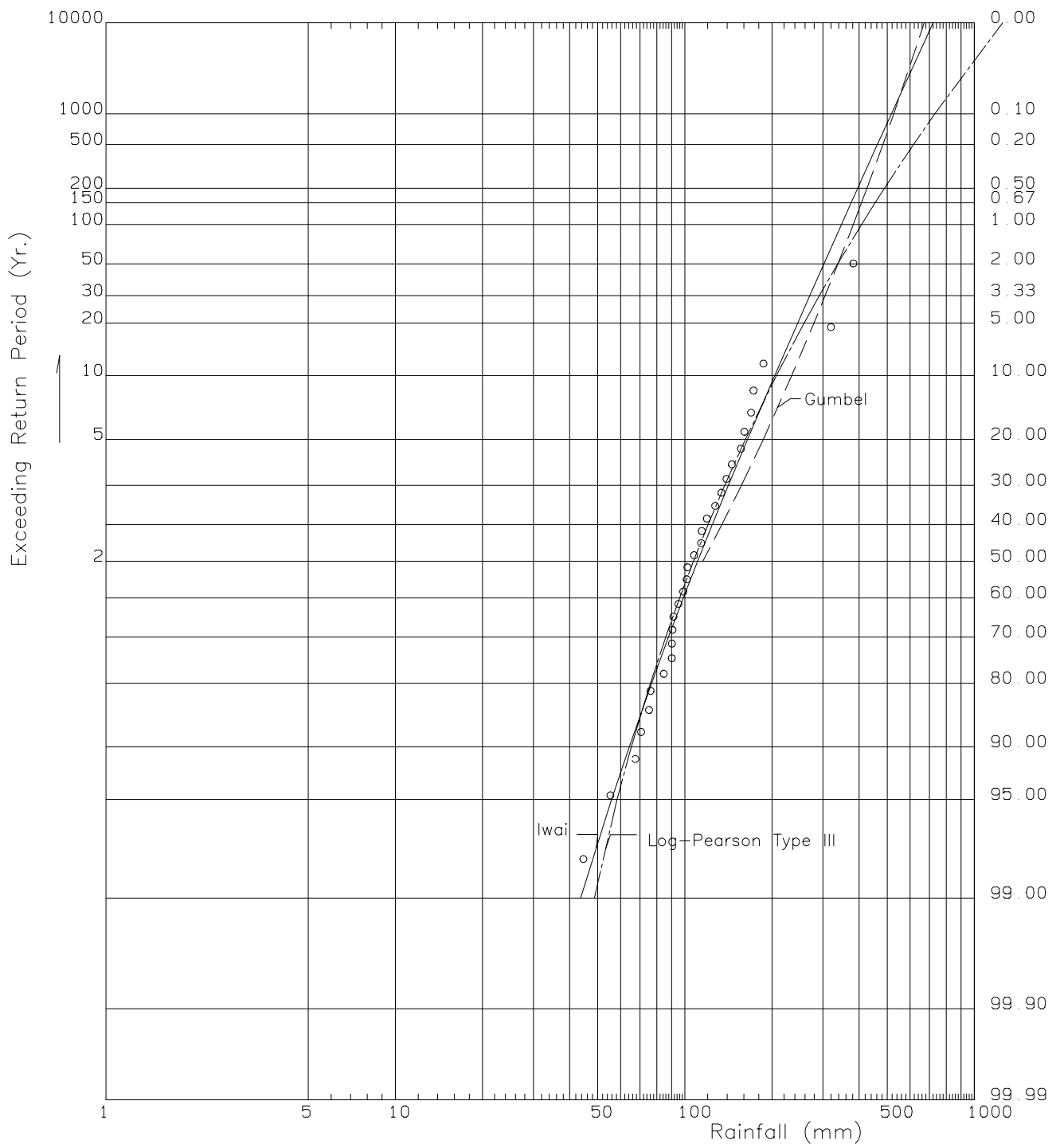


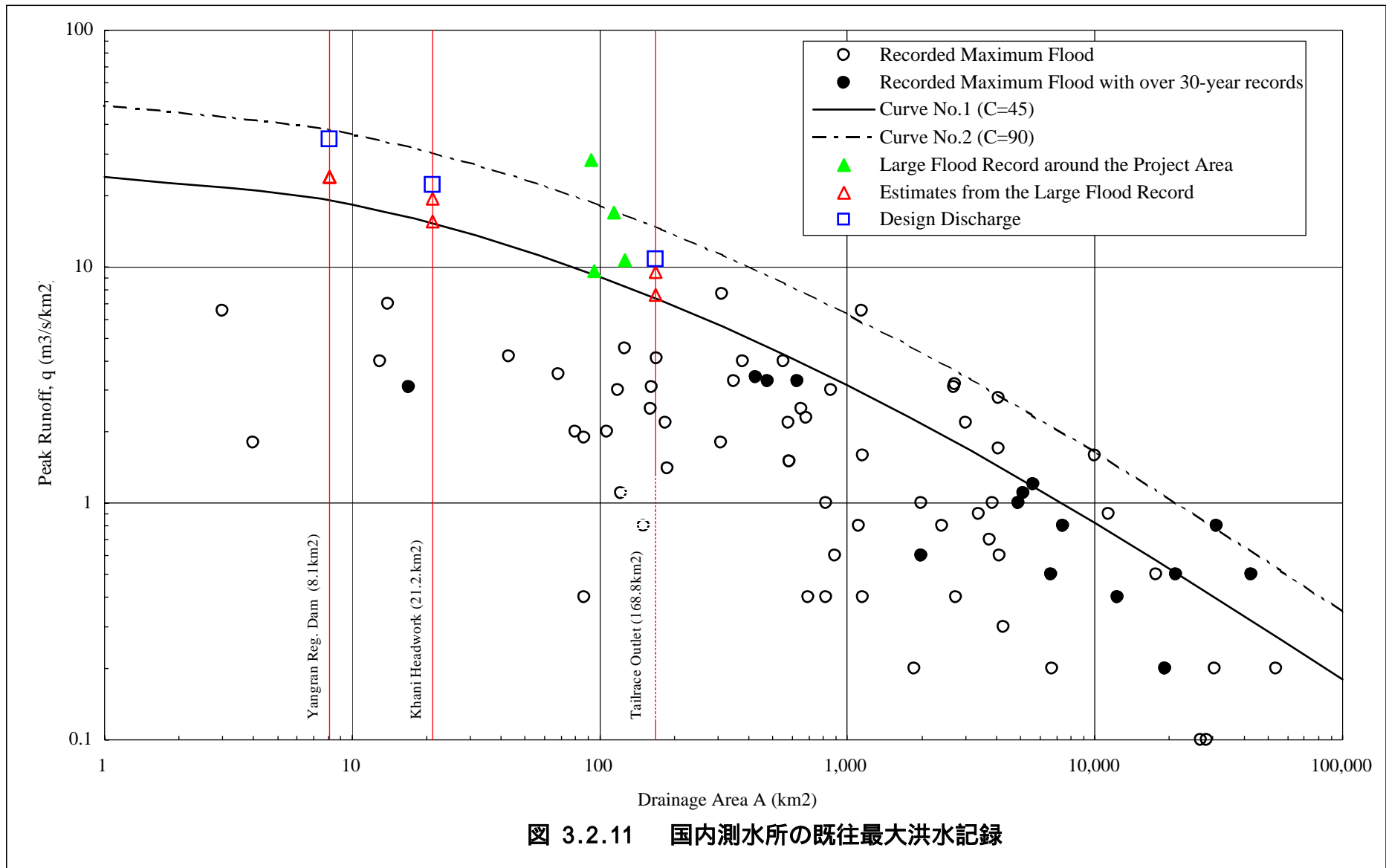
図 3.2.9 単位図及び 1993 年 7 月豪雨時チストン測候所時間降雨分布

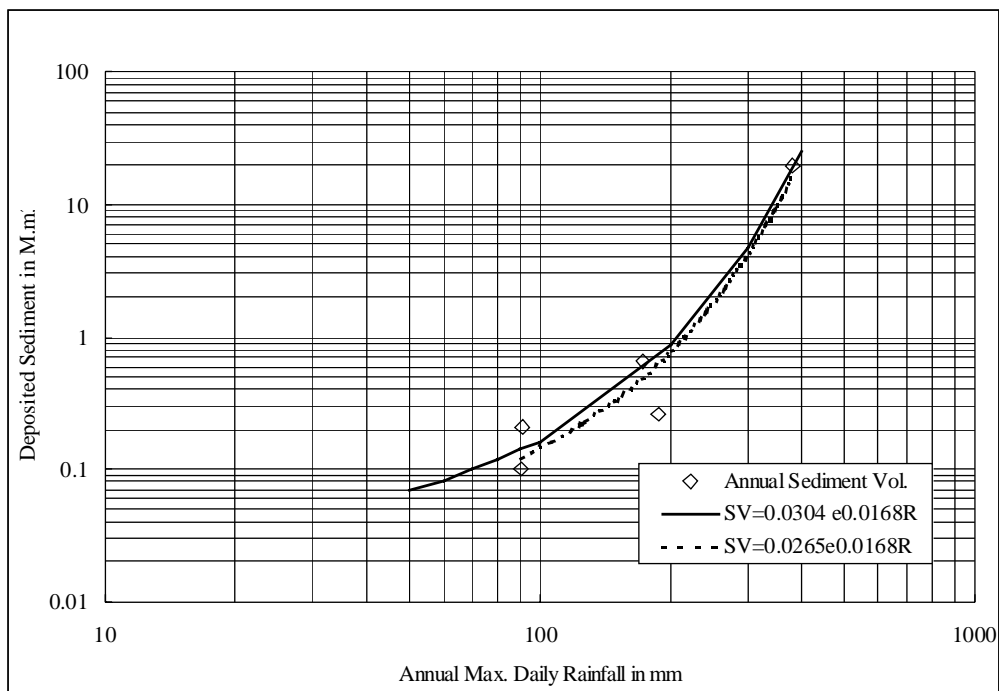


THE UPGRADING FEASIBILITY STUDY ON THE DEVELOPMENT
OF THE KULEKHANI III HYDROPOWER PROJECT

JAPAN INTERNATIONAL COOPERATION AGENCY

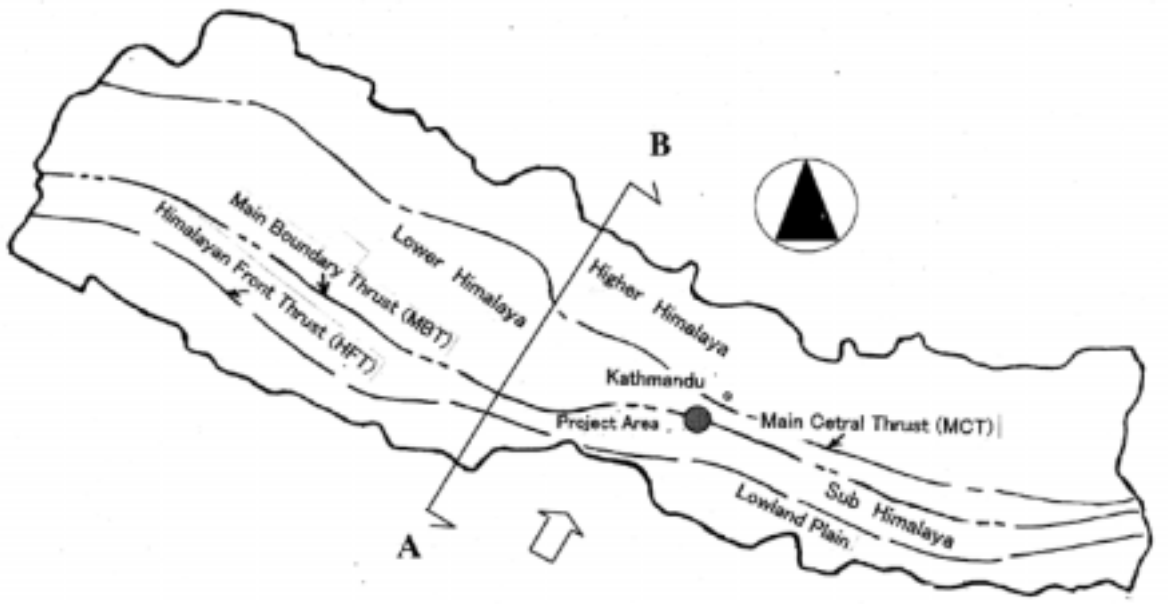
図3. 2. 10
クリカニ測水所地点の確率洪水
(1972-2000, 2002)





年	年間堆砂量 (10^6m^3)	年最大降雨量 (mm)	備考
1993	19.60 ^{*)} (4.80)	381.9	^{*)} 1994, 1995 年を含む
1994	(10.50) ^{*)}	75.2	^{*)} 1993 年を含む
1995	(4.30) ^{*)}	127.3	^{*)} 1993 年を含む
1996	0.10	90.2	
1997	0.21	91.4	
1998	-0.11 ^{*)}	119.0	^{*)} 棄却
1999	0.66	172.6	
2000	0.26	186.7	

図 3.2.12 年間堆砂量と年最大降雨量との関連性



Tibetan-Tethys Himalaya (Trans Himalaya) Higher Himalaya Lower Himalaya Sub Himalaya Lowland Plain



HFT : Himalayan Front Thrust
 MBT : Main Boundary Thrust
 MT : Mahabharat Thrust
 MCT : Main Central Thrust

図3.3.1
 ネパールの地形と地質の概念図